

Simulación

Gibbs Sampler

Software asociado

Jorge de la Vega Góngora

Departamento de Estadística,
Instituto Tecnológico Autónomo de México

Viernes 1 de diciembre de 2017

Gibbs Sampler

Gibbs Sampler I

El Gibbs Sampler es un caso particular del algoritmo de Metropolis-Hastings que se aplica cuando la distribución objetivo a muestrear es una distribución multivariada, y parte de la siguiente idea:

- La distribución objetivo $\pi(\boldsymbol{\theta})$ tiene un vector de variables $\boldsymbol{\theta}$ que se puede particionar en k subpartes: $\boldsymbol{\theta} = (\boldsymbol{\theta}_1, \dots, \boldsymbol{\theta}_k)$
- La cadena se genera muestreando de las distribuciones condicionales de la distribución objetivo:

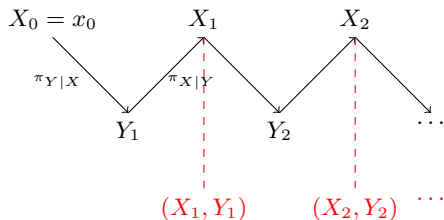
$$\pi(\boldsymbol{\theta}_j | \boldsymbol{\theta}_{-j}, y), \text{ donde } \boldsymbol{\theta}_{-j} = \boldsymbol{\theta} \setminus \boldsymbol{\theta}_j, \quad j = 1, \dots, k$$

iterando sobre los k subvectores.

- En el caso bidimensional, $(X, Y) \sim \pi(x, y)$. Se genera una cadena (X_t, Y_t) del siguiente modo. Para $n = 1, 2, \dots$:
 - Se inicializa la cadena $X_0 = x_0$.
 - Genera $Y_t \sim \pi_{Y|X}(\cdot | X_{t-1})$.
 - Genera $X_t \sim \pi_{X|Y}(\cdot | Y_t)$
 - Incrementa t a $t + 1$ hasta n

Gibbs Sampler II

- En el caso del Gibbs sampler, cada candidato generado es aceptado.
- Una representación gráfica del flujo del algoritmo se muestra a continuación:



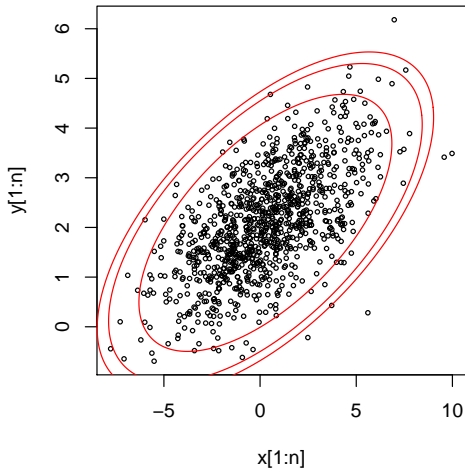
9 1

$\Sigma = \begin{pmatrix} \sigma_1^2 & \rho \\ \rho & \sigma_2^2 \end{pmatrix}$. En este caso es fácil conocer las marginales:

$$\begin{aligned} Y_{n+1}|X_n &\sim \mathcal{N}\left(\mu_2 + \rho \frac{\sigma_2}{\sigma_1}(X_n - \mu_1), (1 - \rho^2)\sigma_2^2\right) \\ X_{n+1}|Y_{n+1} &\sim \mathcal{N}\left(\mu_1 + \rho \frac{\sigma_1}{\sigma_2}(Y_{n+1} - \mu_2), (1 - \rho^2)\sigma_1^2\right) \end{aligned}$$

Entonces $(X_n, Y_n) \rightarrow \mathcal{N}(\mu, \Sigma)$. A continuación se muestra la simulación para el caso $\rho = 0.5$, $\mu_1 = 0$, $\mu_2 = 2$, $\sigma_1 = 1$ y $\sigma_2 = 2$

```
ellipse(mu = colMeans(cbind(x[1:n],y[1:n])), sigma = cov(cbind(x[1:n],y[1:n])),
        alpha = 0.05, npoints = 300, col="red")
```



Si se particiona el vector \mathbf{X} en k componentes $\mathbf{X} = (\mathbf{X}_1, \mathbf{X}_2, \dots, \mathbf{X}_k)$, y podemos simular de $f_i(\mathbf{x}_i|\mathbf{x}_{-i})$, entonces podemos aplicar el siguiente algoritmo:

Algoritmo Gibbs sampler

- ➊ Inicializar $\mathbf{X}^{(0)} = (\mathbf{X}_1^{(0)}, \mathbf{X}_2^{(0)}, \dots, \mathbf{X}_k^{(0)})$ y $j = 1$
- ➋ Obtener $\mathbf{X}^{(j)}$ a partir de $\mathbf{X}^{(j-1)}$ generando

$$\mathbf{x}_1^{(j)} \sim f(\mathbf{x}_1 | \mathbf{x}_2^{(j-1)}, \dots, \mathbf{x}_k^{(j-1)})$$

$$\mathbf{x}_2^{(j)} \sim f(\mathbf{x}_2 | \mathbf{x}_1^{(j)}, \mathbf{x}_3^{(j-1)}, \dots, \mathbf{x}_k^{(j-1)})$$

$$\mathbf{x}_3^{(j)} \sim f(\mathbf{x}_3 | \mathbf{x}_1^{(j)}, \mathbf{x}_2^{(j)}, \dots, \mathbf{x}_k^{(j-1)})$$

-
-
-

$$\mathbf{x}_{k-1}^{(j)} \sim f(\mathbf{x}_{k-1} | \mathbf{x}_1^{(j)}, \mathbf{x}_2^{(j)}, \dots, \mathbf{x}_k^{(j-1)})$$

$$\mathbf{x}_k^{(j)} \sim f(\mathbf{x}_k | \mathbf{x}_1^{(j)}, \mathbf{x}_2^{(j)}, \dots, \mathbf{x}_{k-1}^{(j)})$$

- 3 Hacer $j := j + 1$ y repetir el paso 2 hasta convergencia.

- ## Entonces

Simulación

Ejemplo 2: GS en modelos jerárquicos I

Modelo jerárquico Binomial-beta

El Gibbs sampler se hizo muy popular en los 90's por sus aplicaciones en estadística bayesiana, sobre todo en los problemas de estimación de modelos jerárquicos, ya que se cuenta con las marginales de manera explícita.

Ejemplo

Consideren el modelo jerárquico

$$x|\theta \sim \mathbf{Bin}(n, \theta)$$

$$\theta \sim \mathcal{Be}(a, b)$$

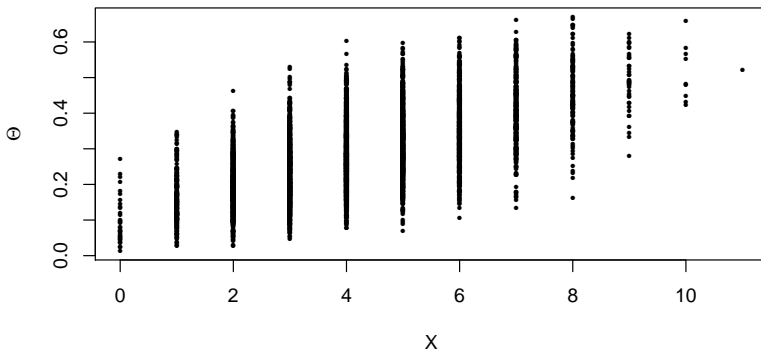
Entonces se tiene que la densidad conjunta de X y θ se puede escribir como

$$f(X, \theta) = f(X|\theta)f(\theta) = f(\theta|X)f(X) = \binom{n}{x} \theta^x (1-\theta)^{n-x} \frac{\Gamma(a+b)}{\Gamma(a)\Gamma(b)} \theta^{a-1} (1-\theta)^{b-1}$$

$$f(\theta|X) = \frac{f(X, \theta)}{f(X)} \propto \binom{n}{x} \theta^{x+a-1} (1-\theta)^{n-x+b-1}$$

Ejemplo 2: GS en modelos jerárquicos III

Modelo jerárquico Binomial-beta

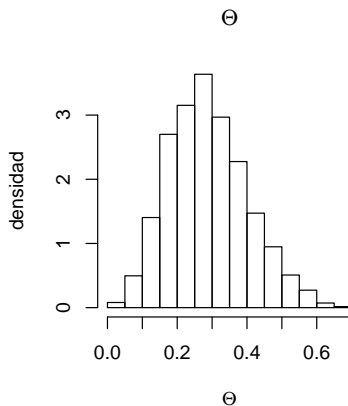
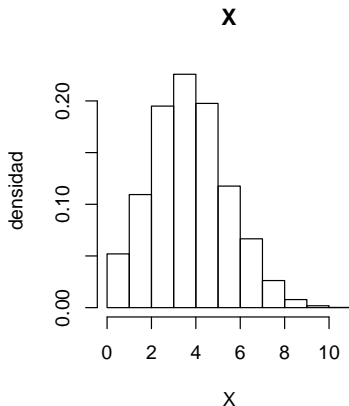


Modelo jerárquico Binomial-beta

```
par(mfrow=c(1,2))
hist(X, probability = T, main = "X", ylab = "densidad")
hist(Theta, probability = T, main = expression(Theta),
     xlab = expression(Theta), ylab = "densidad")
```

Ejemplo 2: GS en modelos jerárquicos V

Modelo jerárquico Binomial-beta



Aplicación: Análisis de punto de cambio I

- **Problema:** Considerar el siguiente proceso Poisson con punto de cambio:

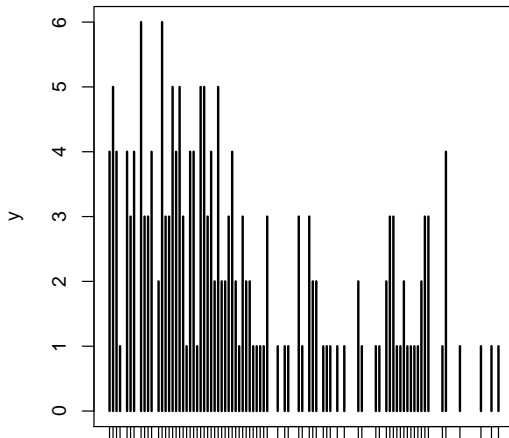
$$X_t \sim \begin{cases} \mathcal{P}(\mu t) & 0 < t \leq k \\ \mathcal{P}(\lambda t) & t > k \end{cases}$$

Dada una muestra de n observaciones del proceso anterior, estimar μ , λ y k .

- Este es un proceso muy común y que ha sido ampliamente estudiado. Hay varias opciones de especificación de modelos Bayesianos para resolverlo.
- Una aplicación concreta del problema anterior se relaciona con los datos publicados en el artículo de R.G. Jarret: A note n the intervals between coal-mining disasters. *Biometrika*, **66:191-193**, 1979. Los datos se encuentran en `coal`, en el paquete `boot` y corresponden a las fechas de 191 explosiones en minas de carbón que resultaron en más de 10 fatalidades desde marzo 15, 1851 hasta marzo 22, 1962.

```
año <- floor(coal) #tomamos el año del evento
y <- table(año) #número de eventos por año
plot(y)
```

Aplicación: Análisis de punto de cambio III



Los datos muestran un cambio en el número promedio de desastres por año alrededor de 1900. Los números anuales de accidentes se crean a continuación:

Aplicación: Análisis de punto de cambio IV

```
año <- floor(coal[[1]]) #extrae las fechas como vector
y <- tabulate(año) #usa tabulate para obtener los años con frecuencia 0
y <- y[1851:length(y)]
y

[1] 4 5 4 1 0 4 3 4 0 6 3 3 4 0 2 6 3 3 5 4 5 3 1 4 4 1 5 5 3 4 2 5 2 2 3
[36] 4 2 1 3 2 2 1 1 1 1 3 0 0 1 0 1 1 0 0 3 1 0 3 2 2 0 1 1 1 0 1 0 1 0 0
[71] 0 2 1 0 0 0 1 1 0 2 3 3 1 1 2 1 1 1 1 2 3 3 0 0 0 1 4 0 0 0 1 0 0 0 0
[106] 0 1 0 0 1 0 1
```

Modelado:

- Y_i = número de desastres en el año i (1851=1). Entonces, si k es el año punto de cambio,

$$Y_i \sim \mathcal{P}(\mu), \quad i = 1, \dots, k,$$

$$Y_i \sim \mathcal{P}(\lambda), \quad i = k + 1, \dots, n$$

Hay $n = 112$ observaciones terminando en el año 1962. El parámetro es $\theta = (k, \mu, \lambda)$.

- Se requiere estimar como distribución objetivo la posterior $\pi(k, \mu, \lambda|y)$, y en particular, la distribución posterior de k , $\pi(k|y, \mu, \lambda)$.

Aplicación: Análisis de punto de cambio V

- Se puede construir un modelo Bayesiano con las siguientes distribuciones iniciales *independientes*:

$$k \sim U\{1, 2, \dots, n\},$$

$$\mu \sim \mathcal{G}(a_1, b_1),$$

$$\lambda \sim \mathcal{G}(a_2, b_2)$$

donde a_1 , a_2 , b_1 y b_2 son hiperparámetros que se pueden fijar o bien, se pueden considerar a su vez aleatorios.

- Sean $S_k = \sum_{i=1}^k Y_i$ y $S'_k = S_n - S_k$. Para aplicar el GS, se necesita especificar las distribuciones condicionales posteriores. Las densidades condicionales para k , μ , λ , están dadas por:

$$\mu|y, k \sim \mathcal{G}(a_1 + S_k, k + b_1)$$

$$\lambda|y, k \sim \mathcal{G}(a_2 + S'_k, n - k + b_2)$$

$$k|y, \mu, \lambda \sim \frac{L(Y|k, \mu, \lambda)}{\sum_{j=1}^n L(Y|j, \mu, \lambda)}$$

con función de verosimilitud

$$L(Y|k, \mu, \lambda) = e^{k(\lambda - \mu)} \left(\frac{\mu}{\lambda} \right)^{S_k}.$$

```
#Simulación de los datos para la distribución del punto de cambio.
n <- length(y) #longitud de los datos
m <- 2000      #longitud de la cadena
mu <- lambda <- k <- numeric(m)
L <- numeric(n)
k[1] <- sample(1:n,1) #valor inicial del punto de cambio (seleccionado al azar)
mu[1] <- 1
lambda[1] <- 1
b1 <- b2 <- 1
a1 <- a2 <- 2

for (i in 2:m){
  mu[i] <- rgamma(1, shape = a1 + sum(y[1:k[i-1]]), rate = k[i-1] + b1) #genera mu
  lambda[i] <- rgamma(1, shape = a2 + sum(y)-sum(y[1:k[i-1]]), rate = n - k[i-1] + b2) #genera lambda
}

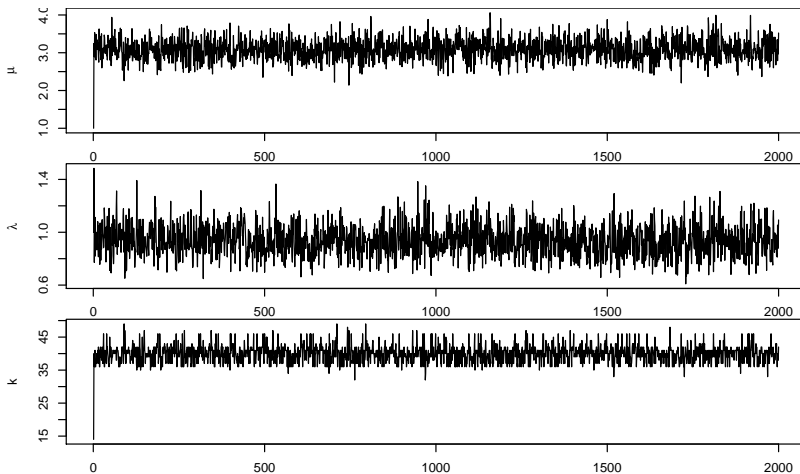
for(j in 1:n){
  L[j] <- exp(-(lambda[i]-mu[i])*j) * (mu[i]/lambda[i])^sum(y[1:j])
}

L <- L/sum(L)
#genera k de la distribución discreta L en 1:n
k[i] <- sample(1:n,prob=L,size=1)
}
```

Aplicación: Análisis de punto de cambio VII

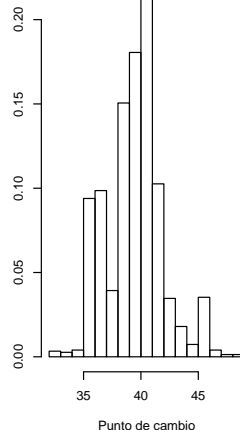
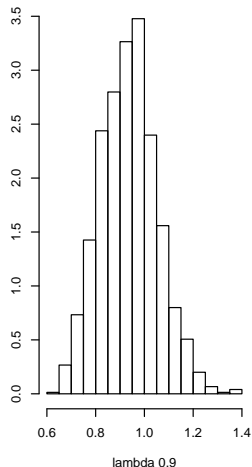
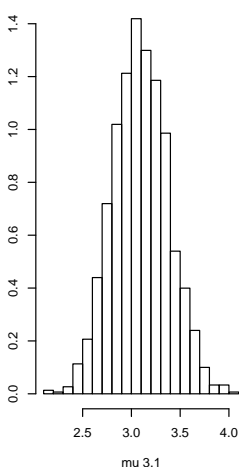
```
par(mfrow=c(3,1))
par(mar=c(2,4,0,1))
plot(mu, type="l", ylab=expression(mu))
plot(lambda, type="l", ylab=expression(lambda))
plot(k, type="l", ylab="k")
```

—



```
# histograms from the gibbs sampler output
b <- 500 #burn-in
par(mar=c(4,3,0,1))
par(mfrow=c(1,3))
label1 <- paste("mu", round(mean(mu[b:m]), 1))
label2 <- paste("lambda", round(mean(lambda[b:m]), 1))
hist(mu[b:m], main="", xlab=label1, breaks = "scott", prob=TRUE) #mu posterior
hist(lambda[b:m], main="", xlab=label2, breaks = "scott", prob=TRUE) #lambda posterior
hist(k[b:m], breaks = min(k[b:m]):max(k[b:m]), prob=TRUE, main="", xlab = "Punto de cambio")
```


Aplicación: Análisis de punto de cambio X



Entonces el punto de cambio está alrededor de $\hat{k} = 40$, que corresponde al año $1851 + 40 = 1891$. De 1851 a 1890 la media

Software relacionado al GS I

- **BUGS (Bayesian Analysis using Gibbs Sampler)** es un paquete que permite realizar el análisis Bayesiano de modelos estadísticos complicados, utilizando métodos MCMC y extraer muestras de distribuciones posteriores.
- De este modo, nos podemos enfocar en el modelado estadístico, que es el principal interés, y dejar los cálculos a la computadora. La sintaxis de *BUGS es muy similar a la de R, pero hay algunas diferencias que hay que notar.
- BUGS tiene dos sabores: **WinBUGS**, versión para Windows con interfaz gráfica y **OpenBUGS**, que es la versión de consola, abierta y extendida a más plataformas. Ahora también tiene su versión GUI.
- WinBUGS ya no se actualiza y se ha sustituido principalmente por OpenBUGS. **BRugs** y **R2OpenBUGS** son paquetes interfaz entre OpenBUGS y R.
- Una buena manera de aprender lo básico de WinBUGS es ver: **WinBUGS - The Movie**

Software relacionado al GS II

- **JAGS (Just Another Gibbs Sampler)** es otro proyecto independiente de BUGS para hacer análisis de modelos jerárquicos bayesianos usando MCMC.
- **Stan** Stan es un lenguaje y librerías para obtener inferencia Bayesiana utilizando muestreo MCMC, utilizando como interfase a R, pero también puede ser Python, MATLAB, JULIA y Stata.

Modelado en BUGS

- Para llevar a cabo un análisis en BUGS, se requiere considerar la siguiente secuencia de acciones
 - 1 Definir el modelo
 - 2 Incluir los datos observados
 - 3 Dar valores iniciales para los parámetros.
 - 4 Estimar el modelo
 - 5 Realizar evaluación de diagnósticos.
 - 6 Analizar los resultados
- A continuación seguiremos el procedimiento en WinBUGS a través de un ejemplo sencillo, y lo haremos también a través de la interfase a R utilizando BRugs.

Ejemplo 3: Modelo normal conjugado I

- Paso 1: Consideremos un modelo normal conjugado:

$$y|\theta \sim \mathcal{N}(\theta, \sigma^2)$$

donde σ^2 es conocido, y la prior de la media θ también es normal,

$$\theta|\eta \sim \mathcal{N}(m, \tau^2)$$

donde m y τ son hiperparámetros conocidos ($\eta = (m, \tau)$), entonces la posterior de $\theta|y$ también es normal:

$$\begin{aligned}\theta|y &\sim \mathcal{N}\left(\frac{\sigma^2 m + \tau^2 y}{\sigma^2 + \tau^2}, \frac{\sigma^2 \tau^2}{\sigma^2 + \tau^2}\right) \\ &= \mathcal{N}(Bm + (1 - B)y, B\tau^2)\end{aligned}$$

donde $B = \frac{\sigma^2}{\sigma^2 + \tau^2} \in (0, 1)$, se puede interpretar como un *factor de compresión* de la media.

Ejemplo 3: Modelo normal conjugado II

- En estadística Bayesiana, es común pensar más en términos del concepto de *precisión* que de *varianza*.

Precisión

La precisión es el recíproco de la varianza: si σ^2 es la varianza, la precisión es $1/\sigma^2$.

- Si ahora se toma una muestra aleatoria y_1, \dots, y_n , entonces la información de la muestra se puede combinar en la estadística suficiente \bar{y} , y

$$\begin{aligned}\theta|\bar{y} &\sim \mathcal{N}\left(\frac{\sigma^2 m + \tau^2 \bar{y}}{\sigma^2/n + \tau^2}, \frac{\frac{\sigma^2}{n} \tau^2}{\sigma^2/n + \tau^2}\right) \\ &= \mathcal{N}\left(\frac{\sigma^2 m + n\tau \bar{y}}{\sigma^2 + n\tau^2}, \frac{\sigma^2 \tau^2}{\sigma^2 + n\tau^2}\right)\end{aligned}$$

- Paso 2 y 3: Por ejemplo, si $m = 2$, $\tau = \sigma = 1$ y $\bar{y} = 6$, podemos obtener la distribución posterior para diferentes tamaños de la muestra n .

Ejemplo 3: Modelo normal conjugado III

Aunque este modelo está resuelto de manera analítica, se puede usar como referencia para aprender WinBUGS.

Para ejecutar este modelo desde R usando [BRugs](#), seguimos el mismo proceso.

1 Paso 4: Escribimos el modelo a un archivo, y se “checa” el modelo:

```
library(BRugs) #Paquete que establece la conexión de OpenBUGS y R

Welcome to BRugs connected to OpenBUGS version 3.2.3

setwd("~/Dropbox/Public/SimS17-II/bugs/modelo1/")
Modelo <- "
model{
  prec.ybar <- n/sigma2 #Los modelos normales en BUGS usan precision, no varianza
  prec.theta <- 1/tau2
  ybar ~ dnorm(theta,prec.ybar)
  theta ~ dnorm(mu,prec.theta)
}"
writeLines(Modelo, con = "Modelo.txt")
modelCheck("Modelo.txt")

model is syntactically correct
```


Ejemplo 3: Modelo normal conjugado IV

- ② Cargamos los datos y los valores iniciales a un archivo.
Cargamos los datos del modelo. Aquí suponemos que $n = 10$.

```
datos <- "list(ybar=6, mu=2, sigma2=1, tau2=1, n=10)"
writeLines(datos, con = "datos.txt")

vinit <- "list(theta=0)"
writeLines(vinit, con = "vinit.txt")

modelData("datos.txt")

data loaded
```

- ③ A continuación se compila el modelo y se inicializa la cadena.

```
modelCompile() #compilación del modelo

model compiled

modelInits("vinit.txt") #Se da un valor inicial para el modelo o se puede usar modelGenInits() para valores
Initializing chain 1:
model is initialized
```

Ejemplo 3: Modelo normal conjugado V

- 4 Ahora ejecutamos el modelo. Por ejemplo, consideramos un burn-in de 1,000 observaciones y generamos 10,000 datos adicionales. Necesitamos monitorear a θ :

```
modelUpdate(1000) #burn-in

1000 updates took 0 s

samplesSet("theta") #Define el monitor de la variable
monitor set for variable 'theta'

modelUpdate(10000) #Generamos n iteraciones

10000 updates took 0 s

samplesStats("theta") #podemos usar "*" o un vector con los nombres de las variables a monitorear entre co

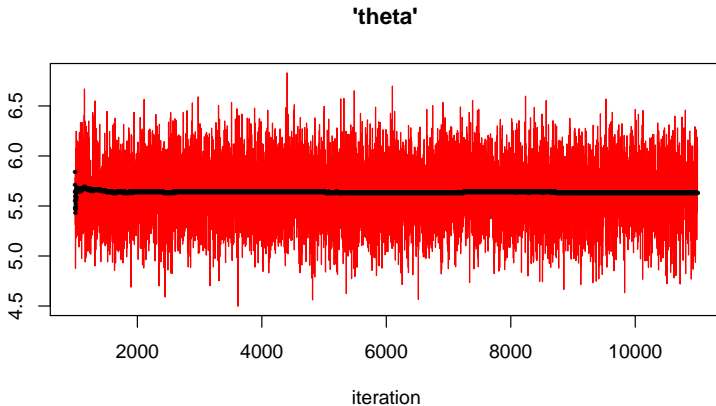
      mean      sd MC_error val2.5pc median val97.5pc start sample
theta 5.635 0.3028 0.003174   5.046  5.638    6.228  1001  10000
```

`samplesStats` devuelve los valores de la muestra obtenida

Paso 5: Podemos ahora generar las gráficas del modelo

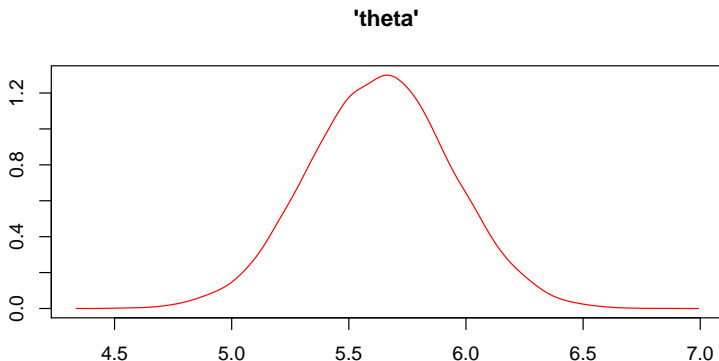
```
a <- samplesHistory("a", mfrow=c(1,1), ask = F)
points(1001:11000, cumsum(a$theta) / (1:length(a$theta)), pch=16, cex=0.5)
```

Ejemplo 3: Modelo normal conjugado VI



```
samplesDensity("theta",mfrow=c(1,1))
```

Ejemplo 3: Modelo normal conjugado VII



Ejemplo 3 con Modelo normal conjugado con R2OpenBUGS I

Ejecutamos el mismo ejemplo previo usando el paquete R2OpenBUGS. El modelo se escribe con la misma sintaxis que antes y está en el archivo `Modelo.txt`. Este programa da una salida ligeramente diferente a la de OpenBUGS con información adicional.

Ejemplo 3 con Modelo normal conjugado con R2OpenBUGS II

```
library(R2OpenBUGS)
setwd("~/Dropbox/Public/SimSI7-II/bugs/modelo1/") #define el directorio de trabajo.
datos <- list(ybar=6, mu=2, sigma2=1, tau2=1, n=10) #define los valores de los datos

#también se requiere especificar valores iniciales
inits <- function(){list(theta = 0)} #se requiere función para tener inicializadas múltiples cadenas
mod.sim <- bugs(datos, inits, model.file = "Modelo.txt",
               parameters = c("theta"), n.chains = 20,
               n.burnin = 1000, n.iter = 5000)

print(mod.sim)

Inference for Bugs model at "Modelo.txt",
Current: 20 chains, each with 5000 iterations (first 1000 discarded)
Cumulative: n.sims = 80000 iterations saved
      mean sd 2.5% 25% 50% 75% 97.5% Rhat n.eff
theta   5.6 0.3  5.0  5.4 5.6 5.8   6.2   1 80000
deviance 1.8 2.6 -0.5 -0.1 0.9 2.8   8.7   1 80000

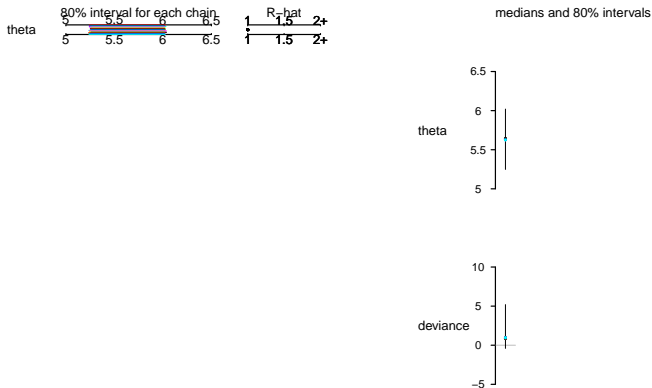
For each parameter, n.eff is a crude measure of effective sample size,
and Rhat is the potential scale reduction factor (at convergence, Rhat=1).

DIC info (using the rule, pD = Dbar-Dhat)
pD = 0.9 and DIC = 2.7
DIC is an estimate of expected predictive error (lower deviance is better).

plot(mod.sim)
```

Ejemplo 3 con Modelo normal conjugado con R2OpenBUGS III

Bugs model at "Modelo.txt", 20 chains, each with 5000 iterations (first 1000 discarded)



Explicación de los elementos de la salida de OpenBUGS I

- La interpretación de esta salida es muy similar a la que se obtendría en Stan también.
- En la salida de los resultados del modelo, se pueden ver los siguientes elementos para cada parámetro estimado:
 - `mean` es la media posterior estimada, calculada como el promedio de las salidas de la cadena.
 - `sd` es la desviación estándar de las observaciones, que conforme el tamaño de muestra tiende a infinito, se acerca a la desviación estándar posterior del parámetro.
 - 2.5 %, 25 %, 50 %, 75 %, 97.5 % son cuantiles de la distribución posterior
 - `Rhat` corresponde al factor de reducción potencial de escala \hat{R} que se mencionó antes, que vale $\hat{R} = 1$ cuando todas las cadenas se han mezclado

Explicación de los elementos de la salida de OpenBUGS II

- `n.eff` es el tamaño de muestra efectivo, que tiene una fórmula dada por:

$$\hat{n}_{eff} = \frac{mn}{1 + 2 \sum_{i=1}^T \hat{\rho}_t}$$

ρ_t es la autocorrelación de la sucesión ψ en el rezago t , n es el número de simulaciones de cada cadena y m es el número de cadenas simuladas, y T es el primer entero impar para el cual $\hat{\rho}_{T+1} + \hat{\rho}_{T+2} < 0$. (ver detalles en Gelman, et.al BDA3, sección 11.5) Basta tomar como referencia que $\hat{n}_{eff} \geq 10m$ es un síntoma de que la cadena se ha mezclado adecuadamente.

Selección de Modelo II

- El *Criterio de Información de la Devianza* (DIC) se define como

$$DIC = \bar{D} + p_D = 2\bar{D} - D(\bar{\theta})$$

- Valores pequeños de DIC indican un modelo que ajusta mejor.
- Comparando modelos, los que tienen las máximas diferencias son los que tienen mayor cambio y mejoran más.

[illegible]

- Usualmente tenemos que analizar las muestras *después* del periodo burn-in para detectar algún tipo de anomalía. El paquete coda ofrece algunas funciones de diagnóstico para facilitar el análisis.

CODA \rightarrow boa \rightarrow coda

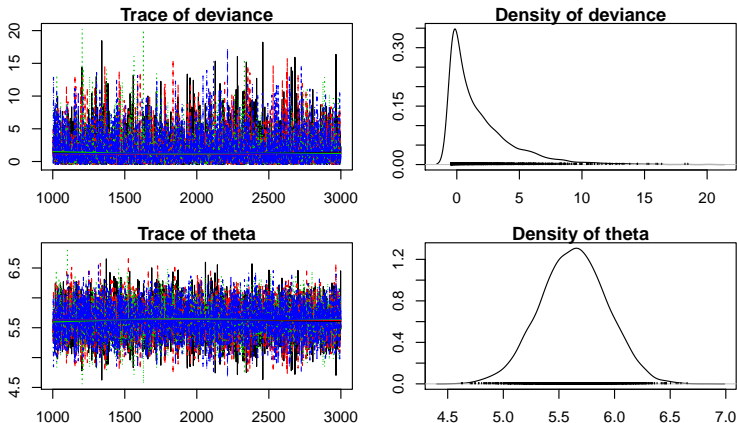
- Podemos obtener la traza y las densidades de las variables de interés del modelo. Estas ya las obteníamos desde antes.

```
par(mar=c(3,3,1,1),
library(coda)
#agrega la opción {\tt codaPkg = T} para poder leer la salida a coda
mod.sim2 <- bugs(datos, inits, model.file = "Modelo.txt",
                 parameters = c("theta"), n.chains = 4,
                 n.burnin = 1000, n.iter = 3000, codaPkg = T)

plot(read.bugs(mod.sim2))

Abstracting deviance ... 2000 valid values
Abstracting theta ... 2000 valid values
Abstracting deviance ... 2000 valid values
Abstracting theta ... 2000 valid values
Abstracting deviance ... 2000 valid values
Abstracting theta ... 2000 valid values
Abstracting deviance ... 2000 valid values
Abstracting theta ... 2000 valid values
Abstracting deviance ... 2000 valid values
Abstracting theta ... 2000 valid values
```

Ejemplo: Modelo normal conjugado y coda. III



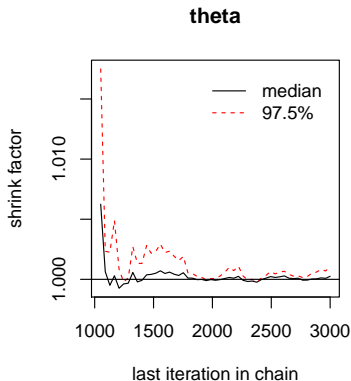
- Otra herramienta de diagnóstico que ya mencionamos antes son los gráficos de Gelman, que grafican el valor de \hat{R} .

Ejemplo: Modelo normal conjugado y coda. IV

- La gráfica de Gelman mide si hay una diferencia significativa entre la varianza al interior de varias cadenas y la varianza entre las cadenas.
- `gelman.diag` devuelve el factor de reducción para cada parámetro. Un factor de 1 significa que la intravarianza y la intervarianza son iguales. Valores grandes denotan que hay diferencias notables entre las cadenas.

```
Abstracting deviance ... 2000 valid values
Abstracting theta ... 2000 valid values
Abstracting deviance ... 2000 valid values
Abstracting theta ... 2000 valid values
Abstracting deviance ... 2000 valid values
Abstracting theta ... 2000 valid values
Abstracting deviance ... 2000 valid values
Abstracting theta ... 2000 valid values
```

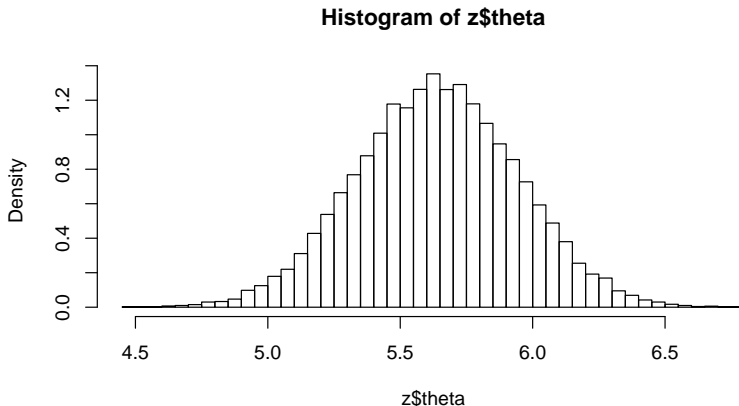

0 1 2 3 4 5 6 7 8 9 10 11 12 13 14 15 16 17 18 19 20 21 22 23 24 25 26 27 28 29 30 31 32 33 34 35 36 37 38 39 40 41 42 43 44 45 46 47 48 49 50 51 52 53 54 55 56 57 58 59 60 61 62 63 64 65 66 67 68 69 70 71 72 73 74 75 76 77 78 79 80 81 82 83 84 85 86 87 88 89 90 91 92 93 94 95 96 97 98 99



De acuerdo al profesor Charles Geyer, de la Universidad de Minnesota, el periodo de burn-in es completamente innecesario

© 2006 The Authors
Journal compilation © 2006 Blackwell Publishing Ltd

Ejemplo 3: Modelo normal conjugado con JAGS y rjags II



Información adicional y ejemplos se pueden encontrar [en este tutorial](#).

Copyright © 2010 John Wiley & Sons, Ltd. *J. Forecast.* **30**, 1–16 (2011) DOI: 10.1002/for

Ejemplo 4: Simulación de transformación de variable aleatoria II

```

Modelo2 <- "
model {
  Z ~ dnorm(0,1) #Hay que considerar que en BUGS se lee la precisión, no la varianza
  Y <- pow(2*Z+1,3)
  P10 <- step(Y-10) #step es la indicadora de la condición > 0 Suponemos k=10
}"

writeLines(Modelo2,con="Modelo2.txt")
modelCheck("Modelo2.txt")

model is syntactically correct

modelCompile()

model compiled

modelGenInits() #inicializa al azar

initial values generated, model initialized

modelUpdate(10000) #burn-in

10000 updates took 0 s

samplesSet(c("Y","P10"))

monitor set for variable 'Y'
monitor set for variable 'P10'

modelUpdate(50000)

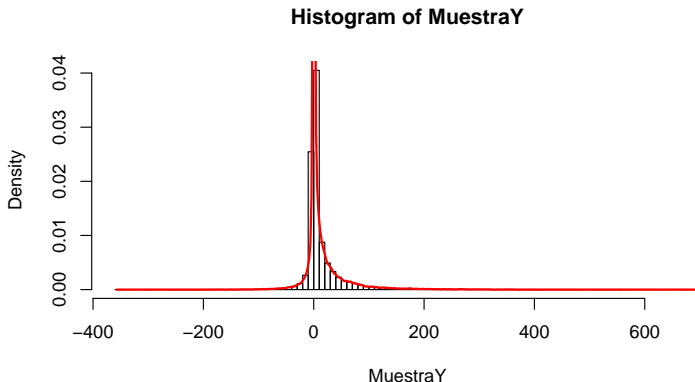
50000 updates took 0 s

```

Podemos ver las respuestas a las preguntas:

- Distribución:

```
MuestraY <- samplesSample("Y")
hist(MuestraY, prob=T, breaks=100)
lines(density(MuestraY), col="red", lwd=2)
```



Ejemplo 4: Simulación de transformación de variable aleatoria IV

- Media y varianza

```
samplesStats("*")
```

	mean	sd	MC_error	val2.5pc	median	val97.5pc	start	sample
P10	0.283	0.4505	0.001822	0.00	0.0000	1.0	10001	50000
Y	13.000	39.3000	0.163500	-24.52	0.9742	119.2	10001	50000

- y la Probabilidad de que sea mayor que 10:

```
samplesStats("P10")$mean
```

```
[1] 0.283
```

1000

Simplificación de proceso II

```
run.model(Modelo2, muestras=c("Y","P10"),longcadena = 50000)
```

```
model is syntactically correct  
model compiled  
initial values generated, model initialized  
5000 updates took 0 s  
monitor set for variable 'Y'  
monitor set for variable 'P10'  
50000 updates took 0 s
```

Ejemplo 5: Estimación de número de reparaciones I

Problema: Tenemos 100 computadoras que requieren reparación. El costo unitario de reparación depende de las piezas que tenga descompuesta la computadora, y usualmente el costo es una variable aleatoria que se puede modelar como una gamma con media 100 y desviación estándar 50. Si tenemos un presupuesto de 10,000 para reparaciones, ¿cuántas reparaciones en promedio podemos hacer?

Recuerden que la distribución $\mathcal{G}(a, b)$ tiene media $\frac{a}{b}$ y varianza $\frac{a}{b^2}$. Entonces la costo en el ejercicio tiene distribución $\mathcal{G}(4, 0.04)$.

Para simular el ejercicio, generamos 100 datos de costos con la distribución dada. Entonces obtenemos una muestra Y_1, \dots, Y_{100} donde Y_i es el costo de reparar la computadora i . El problema consiste en estimar M tal que $\sum_{i=1}^M Y_i \leq 10,000$. Como podemos ver M es aleatorio completamente.

```
model is syntactically correct
model compiled
initial values generated, model initialized
5000 updates took 0 s
monitor set for variable 'M'
monitor set for variable 'sumacosto[100]'
50000 updates took 9 s
```

```

samplesStats(c("M", "sumacosto[100]"))

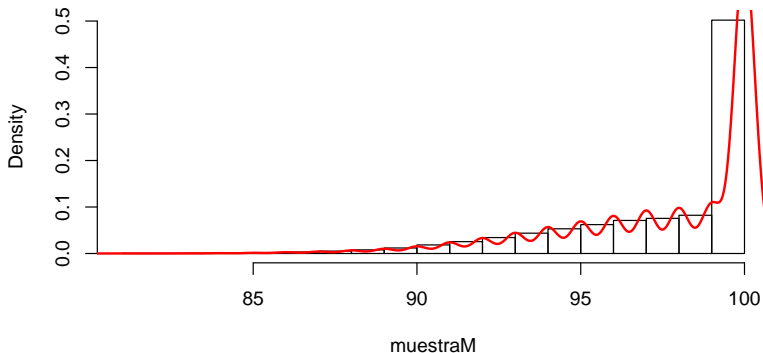
      mean      sd MC_error val2.5pc median val97.5pc start
M      97.8    3.033  0.01244      90     100      100  5001
sumacosto[100] 10000.0 498.700  2.10000     9055    9998     11000  5001

      sample
M      50000
sumacosto[100] 50000

muestraM <- samplesSample("M")
hist(muestraM, probability = T)
lines(density(muestraM), col = "red", lwd = 2)

```

Country	Year	Value
China	2000	1.00
China	2001	1.00
China	2002	1.00
China	2003	1.00
China	2004	1.00
China	2005	1.00
China	2006	1.00
China	2007	1.00
China	2008	1.00
China	2009	1.00
China	2010	1.00
China	2011	1.00
China	2012	1.00
China	2013	1.00
China	2014	1.00
China	2015	1.00
China	2016	1.00
China	2017	1.00
China	2018	1.00
China	2019	1.00
China	2020	1.00
China	2021	1.00
China	2022	1.00
China	2023	1.00
China	2024	1.00
China	2025	1.00
China	2026	1.00
China	2027	1.00
China	2028	1.00
China	2029	1.00
China	2030	1.00
China	2031	1.00
China	2032	1.00
China	2033	1.00
China	2034	1.00
China	2035	1.00
China	2036	1.00
China	2037	1.00
China	2038	1.00
China	2039	1.00
China	2040	1.00
China	2041	1.00
China	2042	1.00
China	2043	1.00
China	2044	1.00
China	2045	1.00
China	2046	1.00
China	2047	1.00
China	2048	1.00
China	2049	1.00
China	2050	1.00
China	2051	1.00
China	2052	1.00
China	2053	1.00
China	2054	1.00
China	2055	1.00
China	2056	1.00
China	2057	1.00
China	2058	1.00
China	2059	1.00
China	2060	1.00
China	2061	1.00
China	2062	1.00
China	2063	1.00
China	2064	1.00
China	2065	1.00
China	2066	1.00
China	2067	1.00
China	2068	1.00
China	2069	1.00
China	2070	1.00
China	2071	1.00
China	2072	1.00
China	2073	1.00
China	2074	1.00
China	2075	1.00
China	2076	1.00
China	2077	1.00
China	2078	1.00
China	2079	1.00
China	2080	1.00
China	2081	1.00
China	2082	1.00
China	2083	1.00
China	2084	1.00
China	2085	1.00
China	2086	1.00
China	2087	1.00
China	2088	1.00
China	2089	1.00
China	2090	1.00
China	2091	1.00
China	2092	1.00
China	2093	1.00
China	2094	1.00
China	2095	1.00
China	2096	1.00
China	2097	1.00
China	2098	1.00
China	2099	1.00
China	2100	1.00
China	2101	1.00
China	2102	1.00
China	2103	1.00
China	2104	1.00
China	2105	1.00
China	2106	1.00
China	2107	1.00
China	2108	1.00
China	2109	1.00
China	2110	1.00
China	2111	1.00
China	2112	1.00
China	2113	1.00
China	2114	1.00
China	2115	1.00
China	2116	1.00
China	2117	1.00
China	2118	1.00
China		



9 10 11 12 13 14 15 16 17 18 19 20 21 22 23 24 25 26 27 28 29 30 31 32 33 34 35 36 37 38 39 40 41 42 43 44 45 46 47 48 49 50 51 52 53 54 55 56 57 58 59 60 61 62 63 64 65 66 67 68 69 70 71 72 73 74 75 76 77 78 79 80 81 82 83 84 85 86 87 88 89 90 91 92 93 94 95 96 97 98 99 100 101 102 103 104 105 106 107 108 109 110 111 112 113 114 115 116 117 118 119 120 121 122 123 124 125 126 127 128 129 130 131 132 133 134 135 136 137 138 139 140 141 142 143 144 145 146 147 148 149 150 151 152 153 154 155 156 157 158 159 160 161 162 163 164 165 166 167 168 169 170 171 172 173 174 175 176 177 178 179 180 181 182 183 184 185 186 187 188 189 190 191 192 193 194 195 196 197 198 199 200 201 202 203 204 205 206 207 208 209 210 211 212 213 214 215 216 217 218 219 220 221 222 223 224 225 226 227 228 229 230 231 232 233 234 235 236 237 238 239 240 241 242 243 244 245 246 247 248 249 250 251 252 253 254 255 256 257 258 259 260 261 262 263 264 265 266 267 268 269 270 271 272 273 274 275 276 277 278 279 280 281 282 283 284 285 286 287 288 289 290 291 292 293 294 295 296 297 298 299 300 301 302 303 304 305 306 307 308 309 310 311 312 313 314 315 316 317 318 319 320 321 322 323 324 325 326 327 328 329 330 331 332 333 334 335 336 337 338 339 340 341 342 343 344 345 346 347 348 349 350 351 352 353 354 355 356 357 358 359 360 361 362 363 364 365 366 367 368 369 370 371 372 373 374 375 376 377 378 379 380 381 382 383 384 385 386 387 388 389 390 391 392 393 394 395 396 397 398 399 400 401 402 403 404 405 406 407 408 409 410 411 412 413 414 415 416 417 418 419 420 421 422 423 424 425 426 427 428 429 430 431 432 433 434 435 436 437 438 439 440 441 442 443 444 445 446 447 448 449 450 451 452 453 454 455 456 457 458 459 460 461 462 463 464 465 466 467 468 469 470 471 472 473 474 475 476 477 478 479 480 481 482 483 484 485 486 487 488 489 490 491 492 493 494 495 496 497 498 499 500 501 502 503 504 505 506 507 508 509 510 511 512 513 514 515 516 517 518 519 520 521 522 523 524 525 526 527 528 529 530 531 532 533 534 535 536 537 538 539 540 541 542 543 544 545 546 547 548 549 550 551 552 553 554 555 556 557 558 559 560 561 562 563 564 565 566 567 568 569 570 571 572 573 574 575 576 577 578 579 580 581 582 583 584 585 586 587 588 589 590 591 592 593 594 595 596 597 598 599 600 601 602 603 604 605 606 607 608 609 610 611 612 613 614 615 616 617 618 619 620 621 622 623 624 625 626 627 628 629 630 631 632 633 634 635 636 637 638 639 640 641 642 643 644 645 646 647 648 649 650 651 652 653 654 655 656 657 658 659 660 661 662 663 664 665 666 667 668 669 670 671 672 673 674 675 676 677 678 679 680 681 682 683 684 685 686 687 688 689 690 691 692 693 694 695 696 697 698 699 700 701 702 703 704 705 706 707 708 709 710 711 712 713 714 715 716 717 718 719 720 721 722 723 724 725 726 727 728 729 730 731 732 733 734 735 736 737 738 739 740 741 742 743 744 745 746 747 748 749 750 751 752 753 754 755 756 757 758 759 760 761 762 763 764 765 766 767 768 769 770 771 772 773 774 775 776 777 778 779 780 781 782 783 784 785 786 787 788 789 790 791 792 793 794 795 796 797 798 799 800 801 802 803 804 805 806 807 808 809 810 811 812 813 814 815 816 817 818 819 820 821 822 823 824 825 826 827 828 829 830 831 832 833 834 835 836 837 838 839 840 841 842 843 844 845 846 847 848 849 850 851 852 853 854 855 856 857 858 859 860 861 862 863 864 865 866 867 868 869 870 871 872 873 874 875 876 877 878 879 880 881 882 883 884 885 886 887 888 889 890 891 892 893 894 895 896 897 898 899 900 901 902 903 904 905 906 907 908 909 910 911 912 913 914 915 916 917 918 919 920 921 922 923 924 925 926 927 928 929 930 931 932 933 934 935 936 937 938 939 940 941 942 943 944 945 946 947 948 949 950 951 952 953 954 955 956 957 958 959 960 961 962 963 964 965 966 967 968 969 970 971 972 973 974 975 976 977 978 979 980 981 982 983 984 985 986 987 988 989 990 991 992 993 994 995 996 997 998 999 1000 1001 1002 1003 1004 1005 1006 1007 1008 1009 1010 1011 1012 1013 1014 1015 1016 1017 1018 1019 1020 1021 1022 1023 1024 1025 1026 1027 1028 1029 1030 1031 1032 1033 1034 1035 1036 1037 1038 1039 1040 1041 1042 1043 10

Copyright © 2010 John Wiley & Sons, Ltd. *J. Forecast.* **30**, 1–16 (2011) DOI: 10.1002/for

```
par(mar=c(3,3,1,1))
gelman.plot(read.bugs(mod.siml))
```

Abstracting beta0 ... 2000 valid values
 Abstracting betal ... 2000 valid values
 Abstracting deviance ... 2000 valid values
 Abstracting sigma ... 2000 valid values
 Abstracting beta0 ... 2000 valid values
 Abstracting betal ... 2000 valid values
 Abstracting deviance ... 2000 valid values
 Abstracting sigma ... 2000 valid values
 Abstracting beta0 ... 2000 valid values
 Abstracting betal ... 2000 valid values
 Abstracting deviance ... 2000 valid values
 Abstracting sigma ... 2000 valid values

100

